



# **Prove non distruttive su edifici storici e monumentali: Modelli numerici per la loro interpretazione**

PhD. Stefano Invernizzi

*Department of Structural Engineering and Geotechnics*

*Politecnico di Torino*

*Corso Duca degli Abruzzi 24, 10129, Torino, Italy*

Giornata seminariale Progetto RE-FRESCOS  
Giovedì 1 Luglio 2010, Aula Albenga (DISTR)

# OUTLINE

- **Introduzione**
  - *Modellazione numerica della frattura (FEM, LM & DM)*
- **Prova con il martinetto piatto doppio**
  - *Caratterizzazione meccanica e crack pattern*
  - *Interpretazione e Scaling AE*
- **Prove di carico su strutture voltate**
  - Ex-Ospedale S. Giovanni
  - Modello di ponte a due campate soggetto a cedimenti
- **Prove di laboratorio a compressione su campioni**
  - *Simulazioni numeriche FEM*
  - *Simulazioni numeriche DM*

# INTRODUZIONE: FEM

## Meso-level model

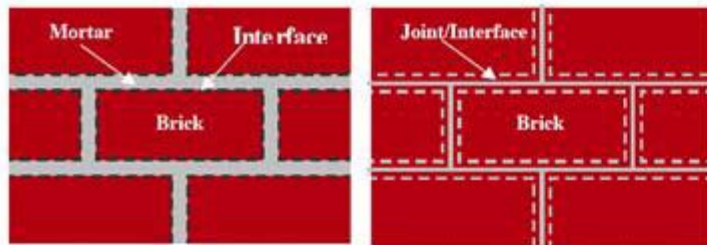


Figure 1a: Detailed approach

Figure 1b: Simplified approach

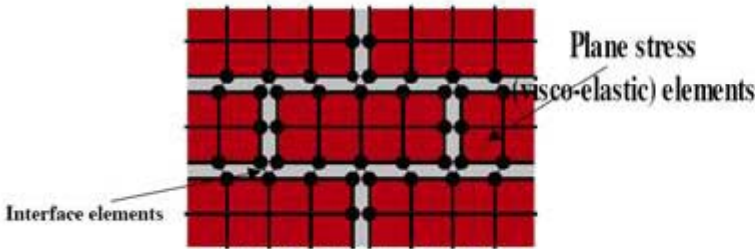


Figure 2: Finite Element model

Interface elements

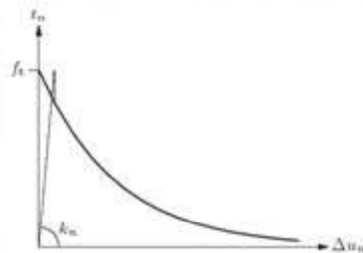


Figure 20.2: Discrete cracking

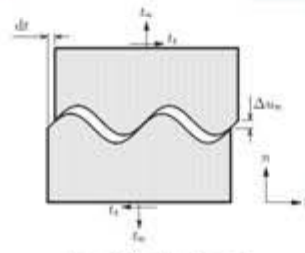


Figure 20.7: Rough crack

Plasticity (Rankine-Hill)

Smearred Crack Model

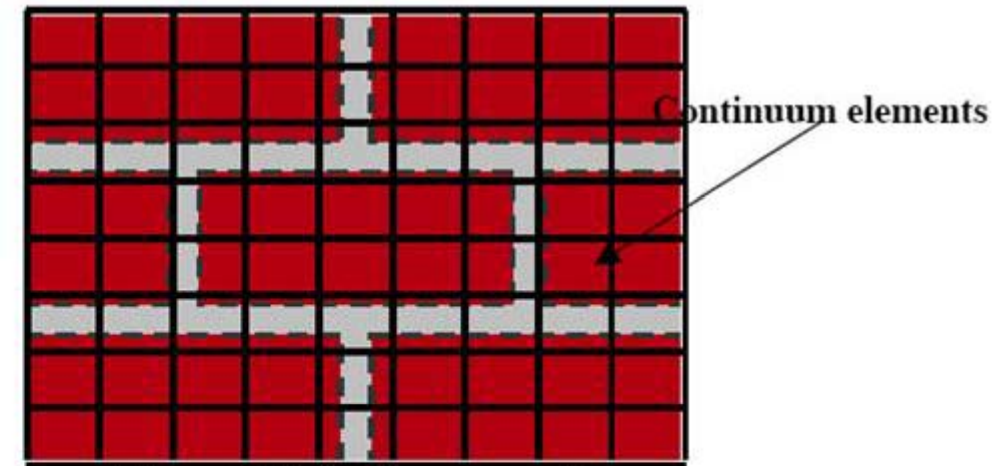


Figure 4: Finite Element model

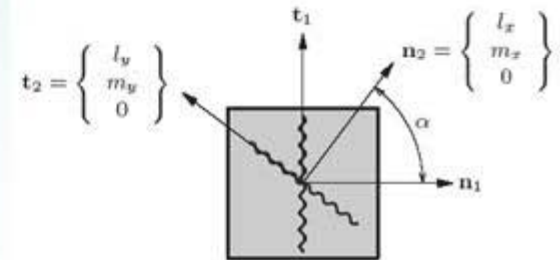
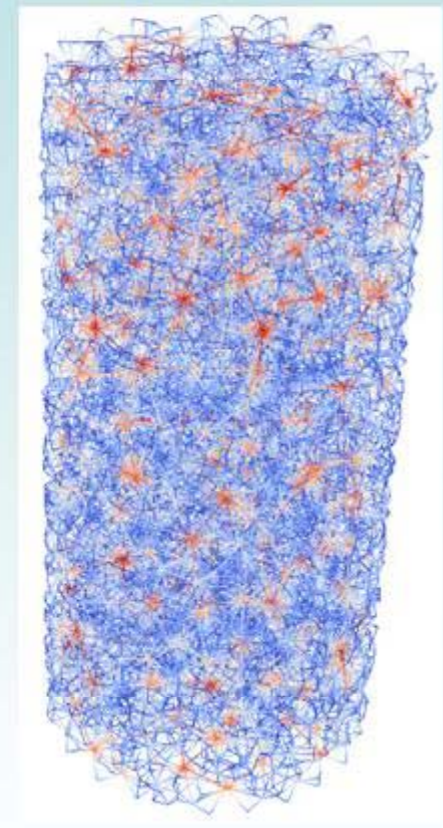
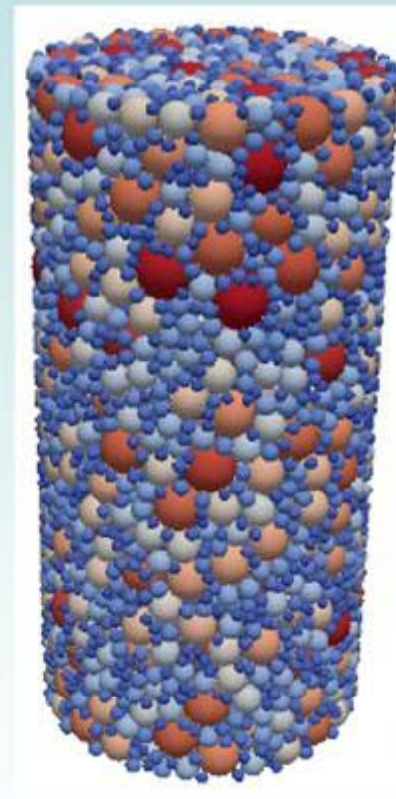
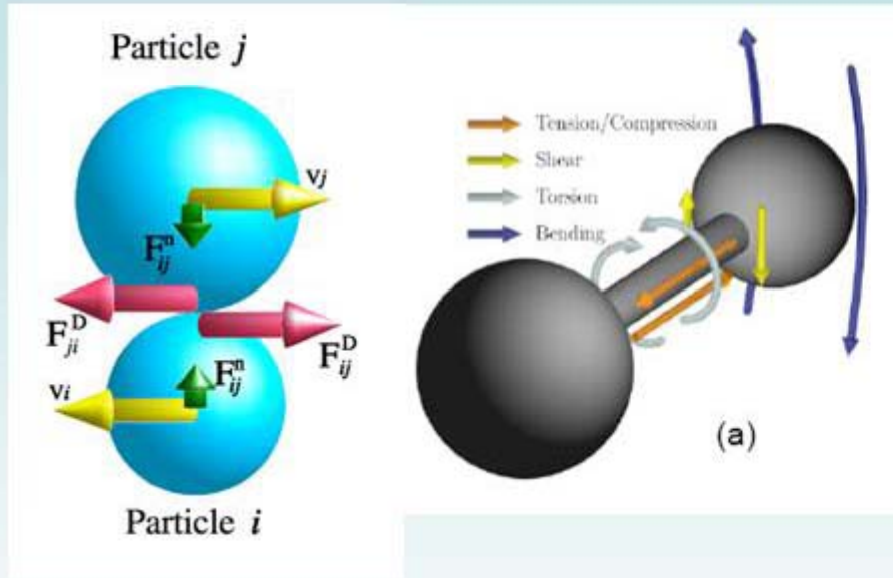


Figure 17.1: Multi-directional fixed crack model

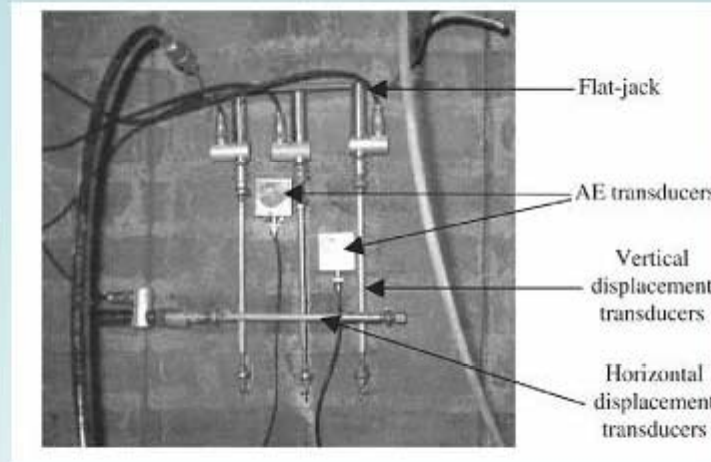


# INTRODUZIONE: DM

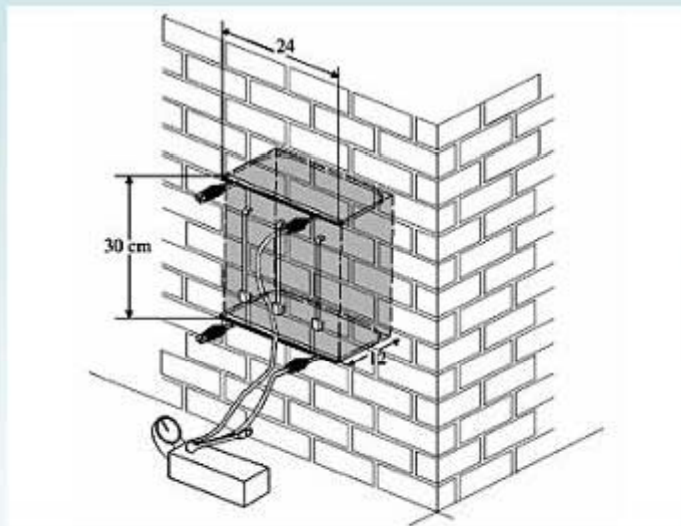


$$\frac{|F_n|}{F_n^{brk}} + \frac{|F_s|}{F_s^{brk}} + \frac{|F_b|}{F_b^{brk}} + \frac{|F_t|}{F_t^{brk}} > 1$$

# PROVA CON IL MARTINETTO PIATTO DOPPIO

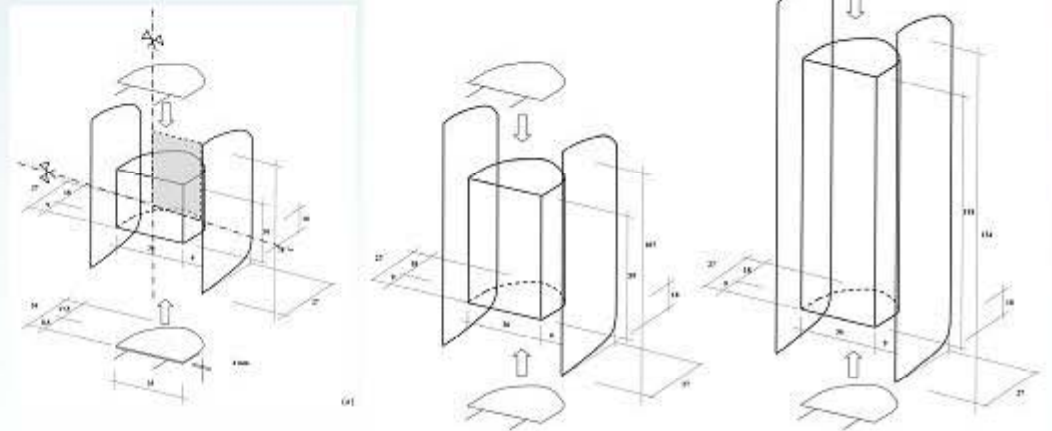


Monitoraggio AE



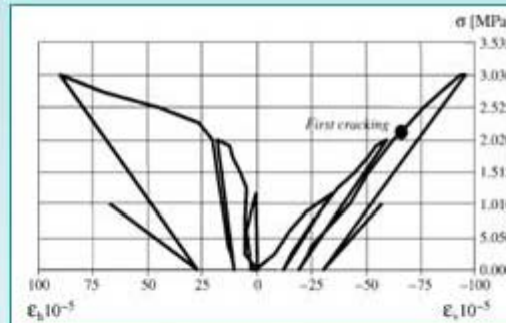
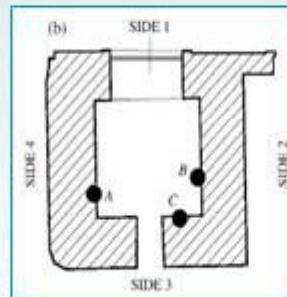
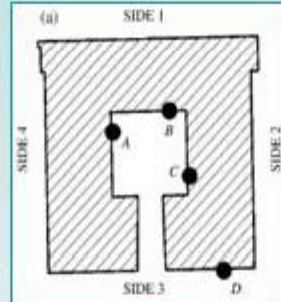
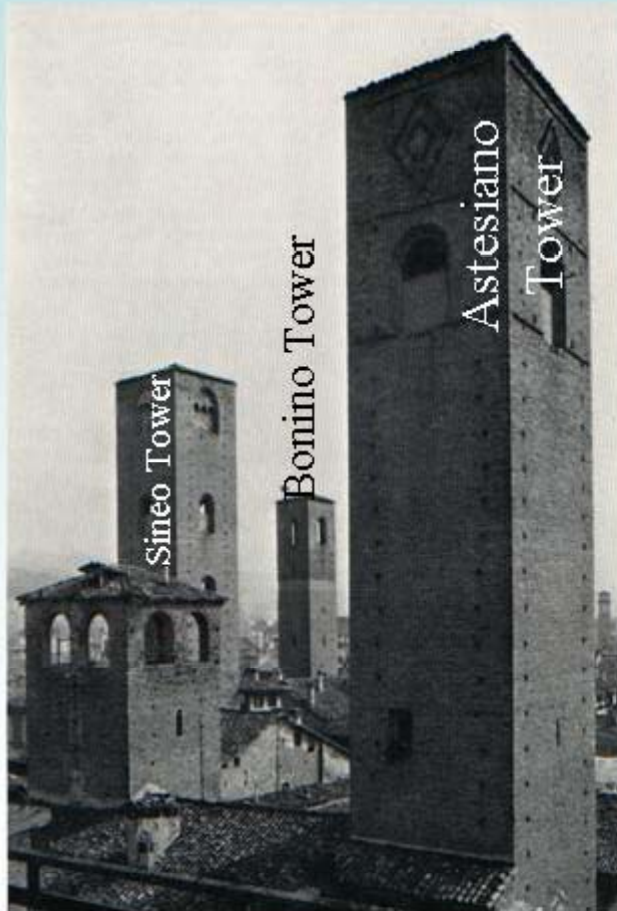
Schema di prova

Dimensioni variabili





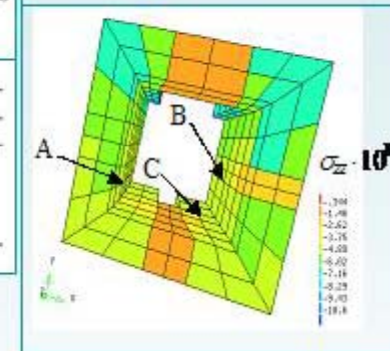
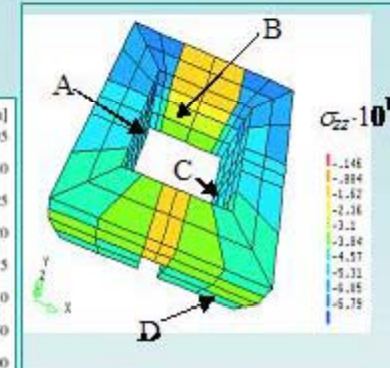
# TORRI DI ALBA



Results from single and double flat-jack tests

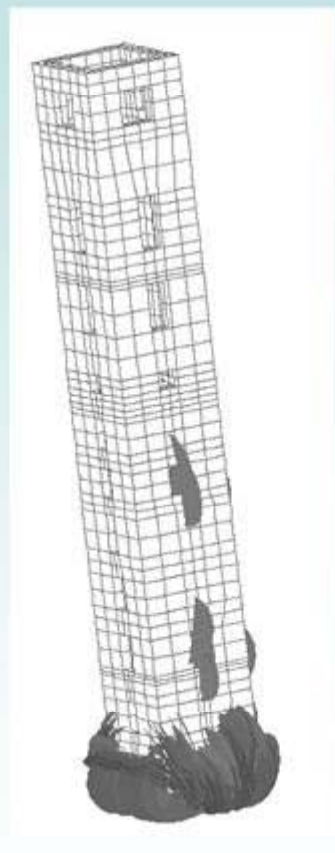
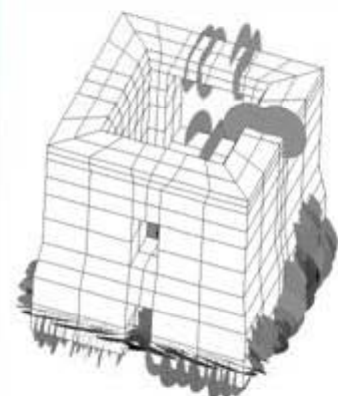
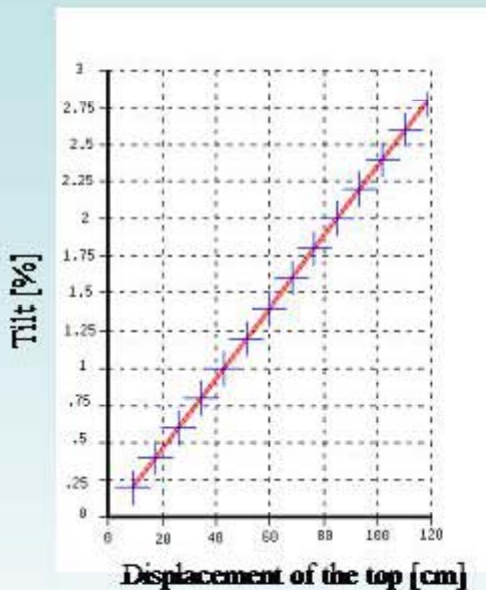
Points	Foundation floor		Ground floor	
	$\sigma_z$	$E$	$\sigma_z$	$E$
A	2.455	-	0.871	-
B	0.297	-	0.746	-
C	1.059	-	-	-
D	0.502	-	-	5000

Average compressive stresses and Young's moduli are in MPa.



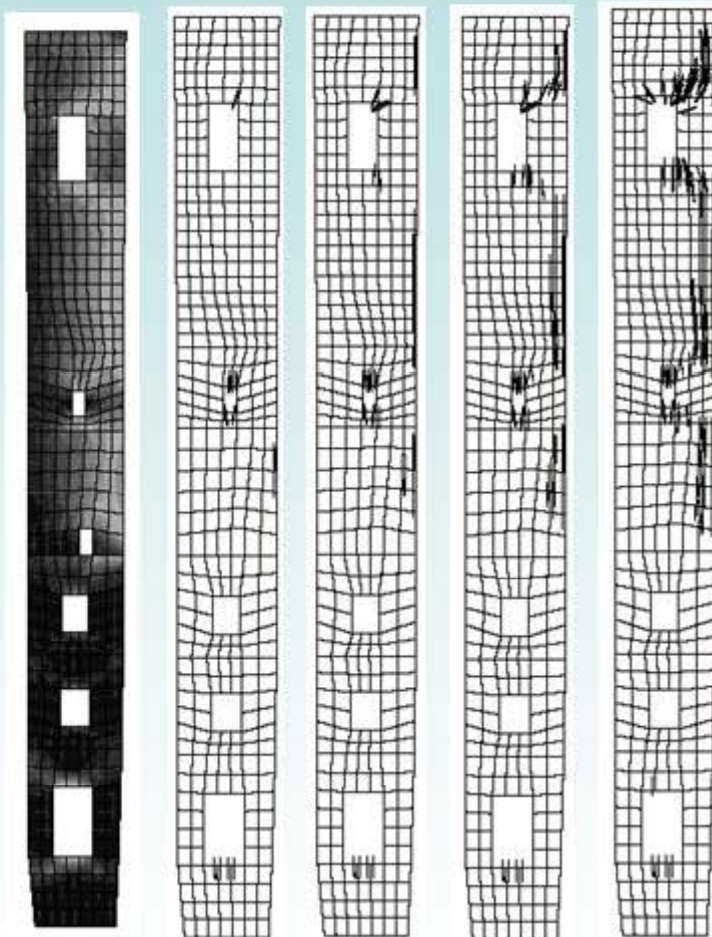
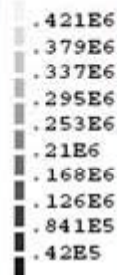
Monitoraggio con AE

# TORRI DI ALBA



Evoluzione cedimenti

$\sigma_1$



Frattura per escursione termica



# PROVA CON IL MARTINETTO PIATTO DOPPIO

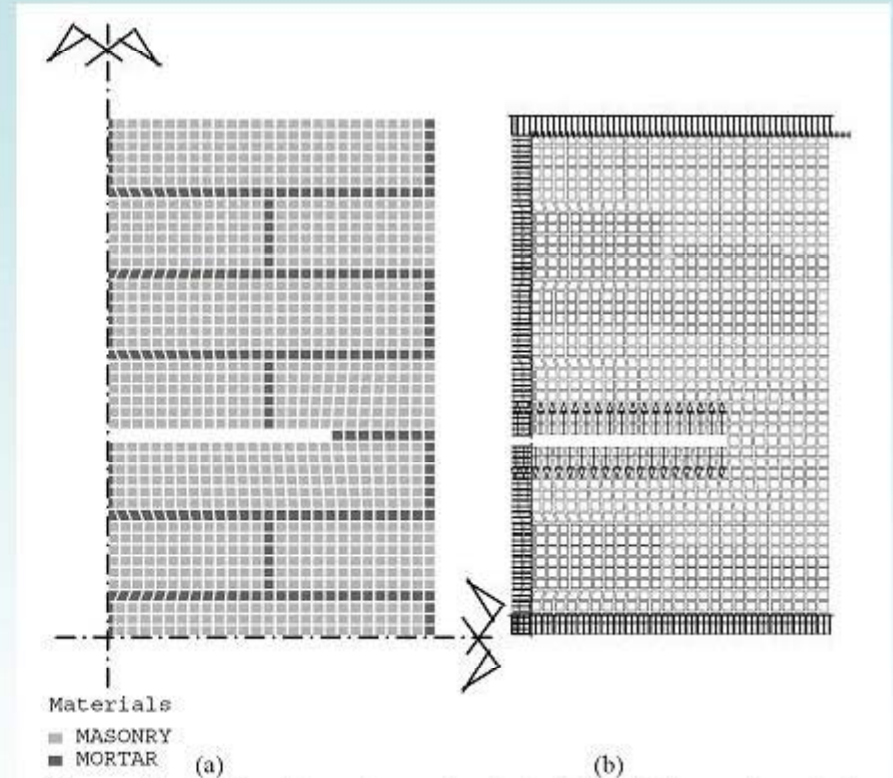
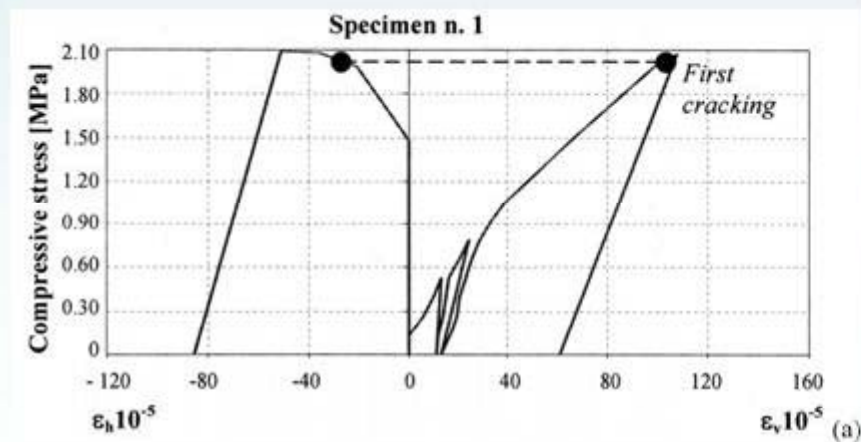
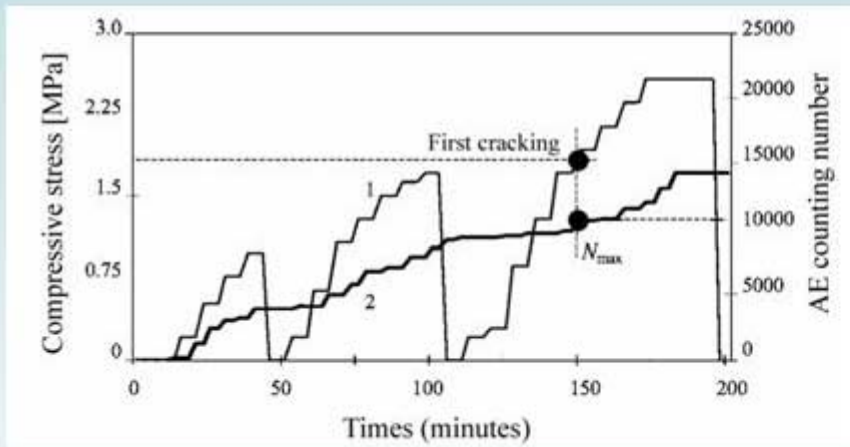
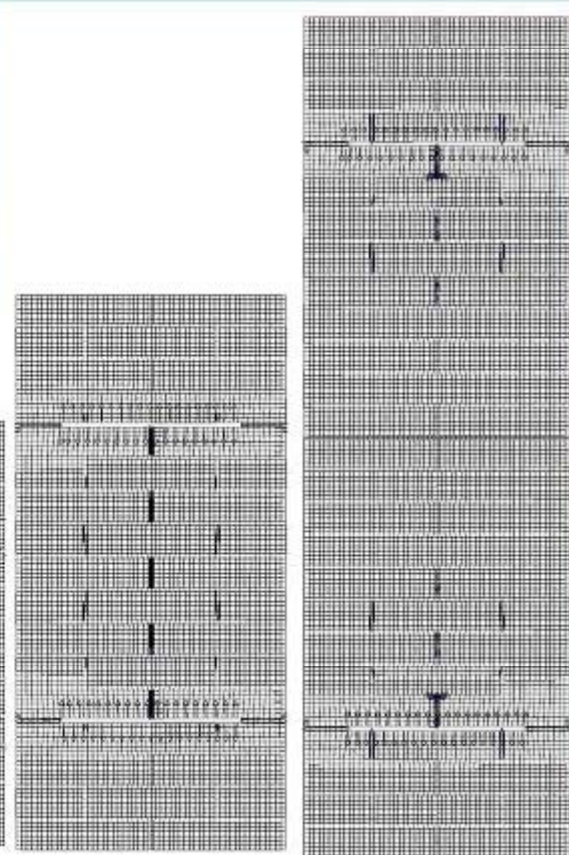
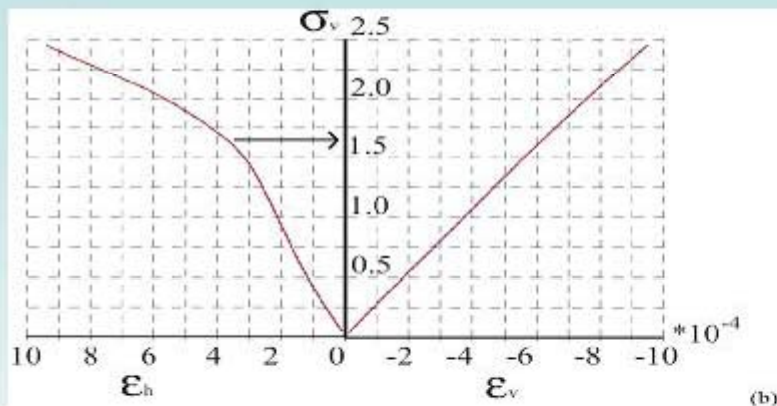


Figure 11. Finite element mesh adopted for Volume 1 exploiting symmetry (crf. Shaded area in Fig. 7a). Mesh and materials (a); loads and boundary conditions (b).



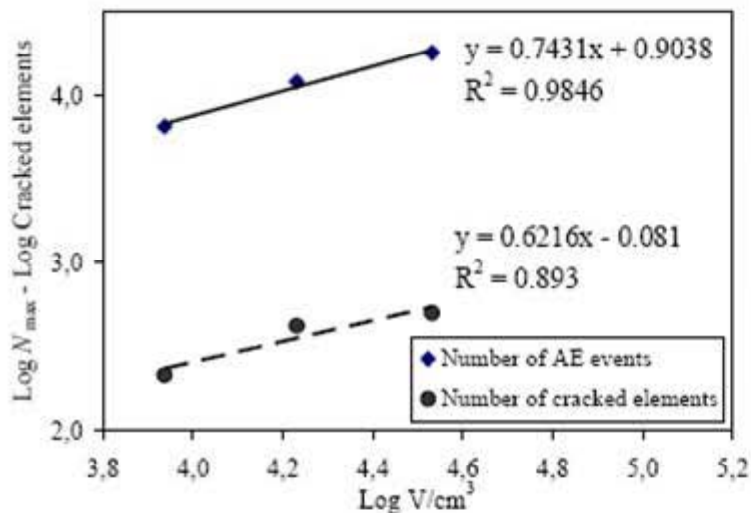
# PROVA CON IL MARTINETTO PIATTO DOPPIO



Volume 1

Volume 2

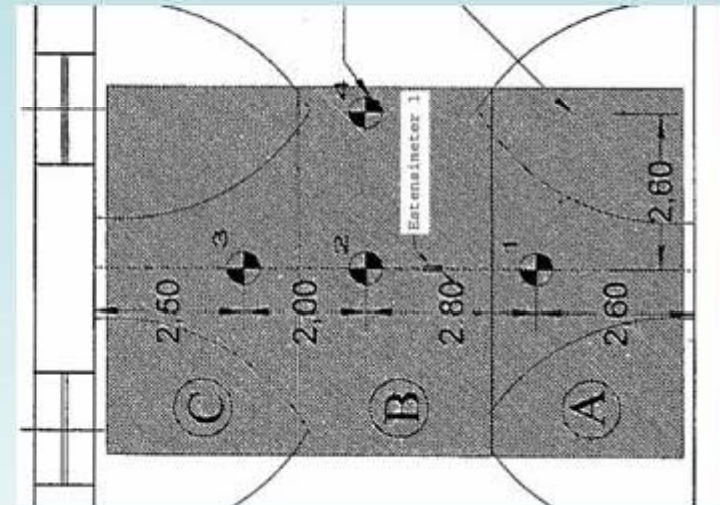
Volume 3



# PROVE DI CARICO SU VOLTE

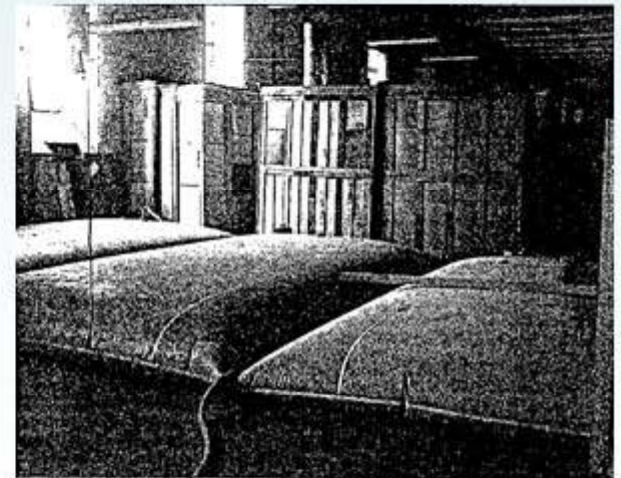


Ex Ospedale S. Giovanni



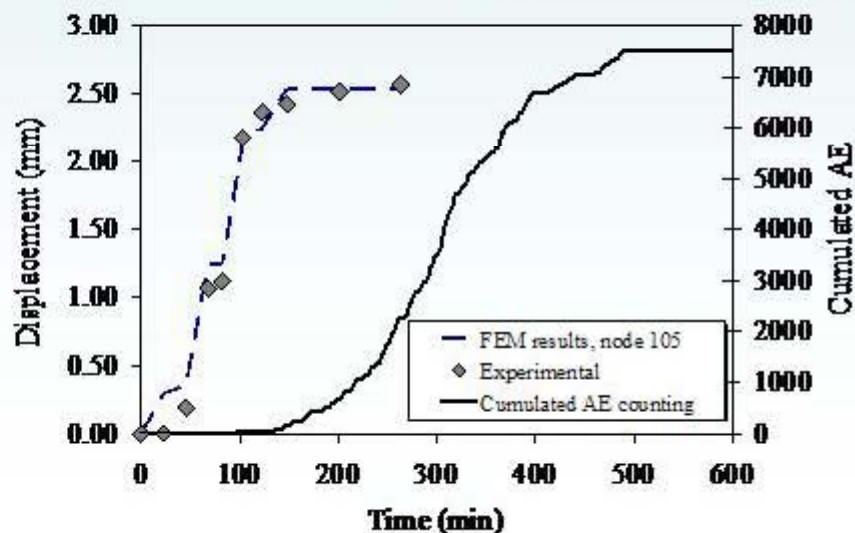
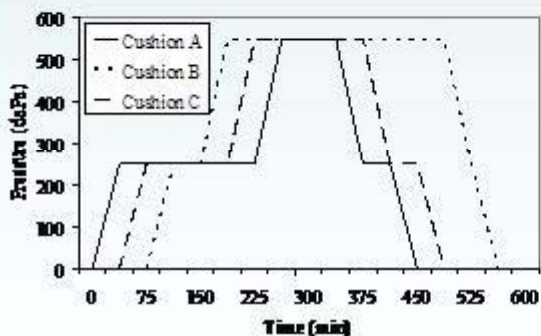
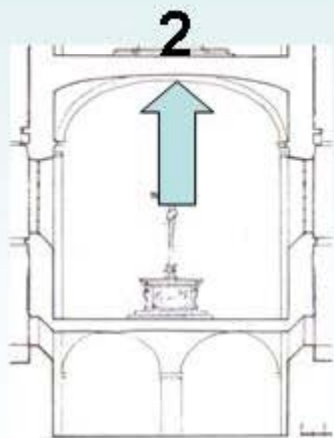
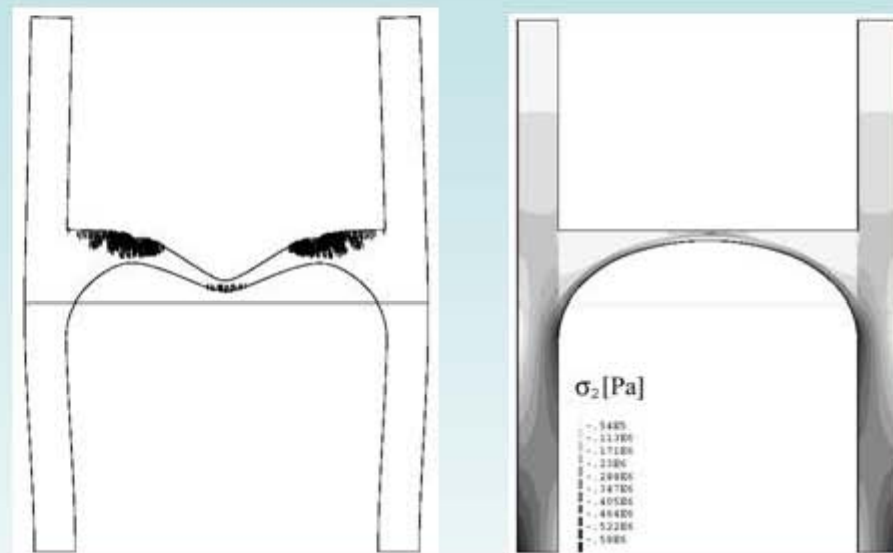
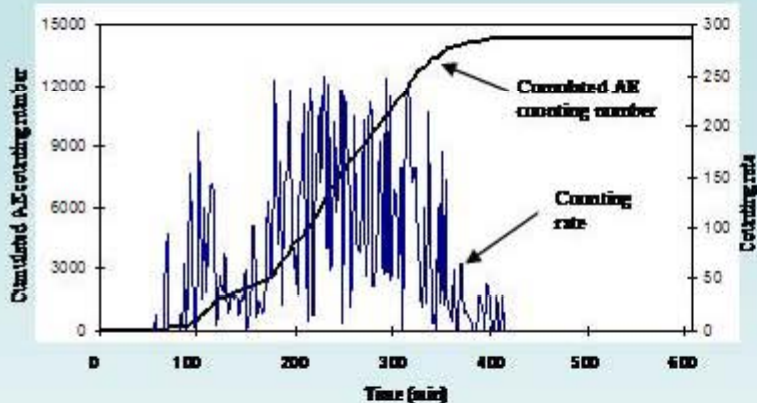
Schema di carico e sensori AE

Cuscini di carico





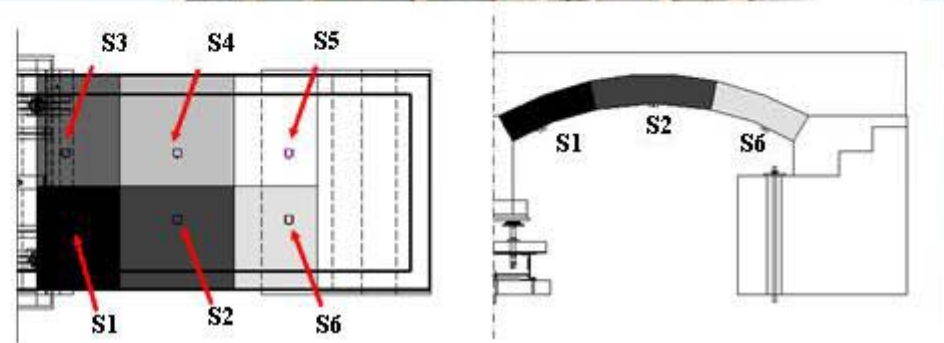
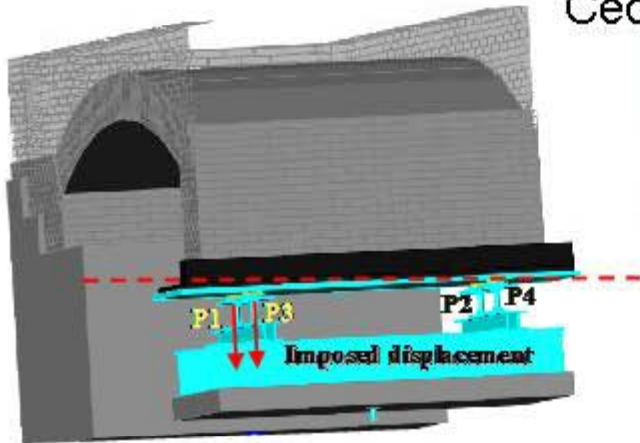
# PROVE DI CARICO SU VOLTE



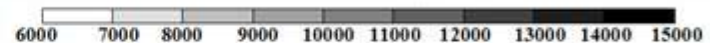
# PROVE DI CARICO SU VOLTE



Cedimenti imposti

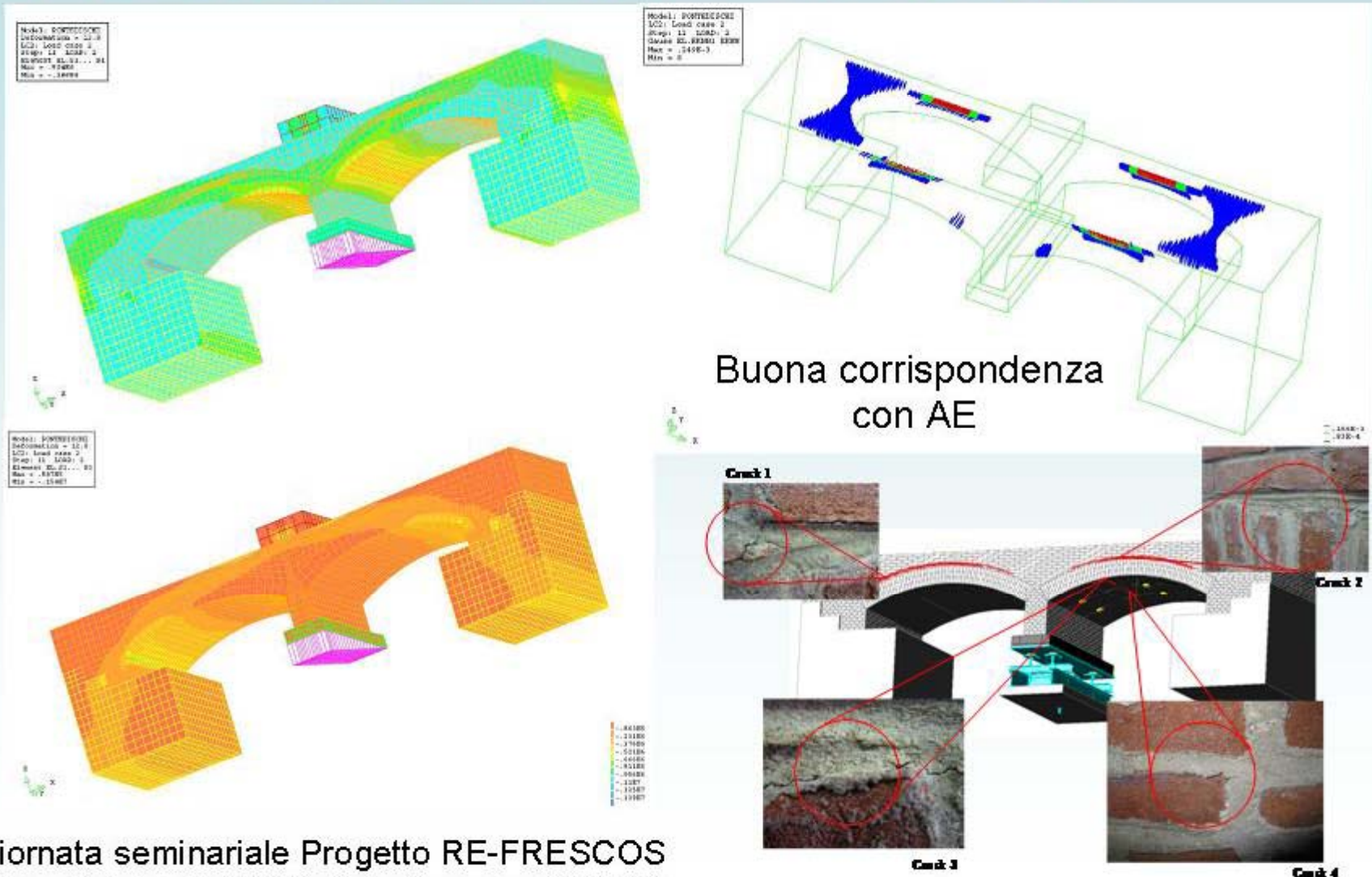


Number of AE events





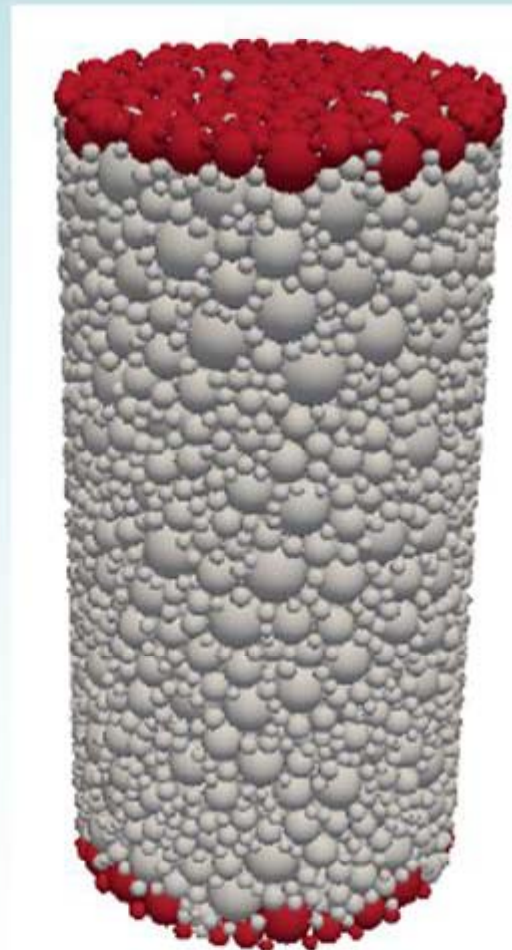
# PROVE DI CARICO SU VOLTE



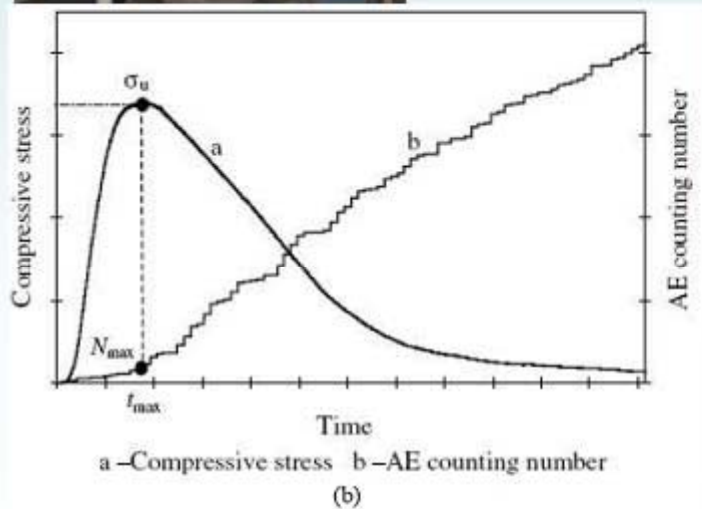
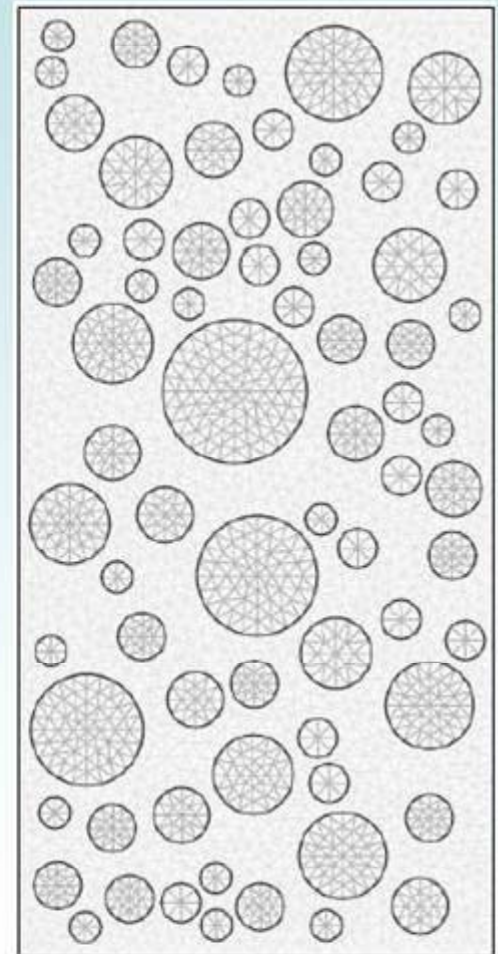
# PROVE DI COMPRESSIONE



DE



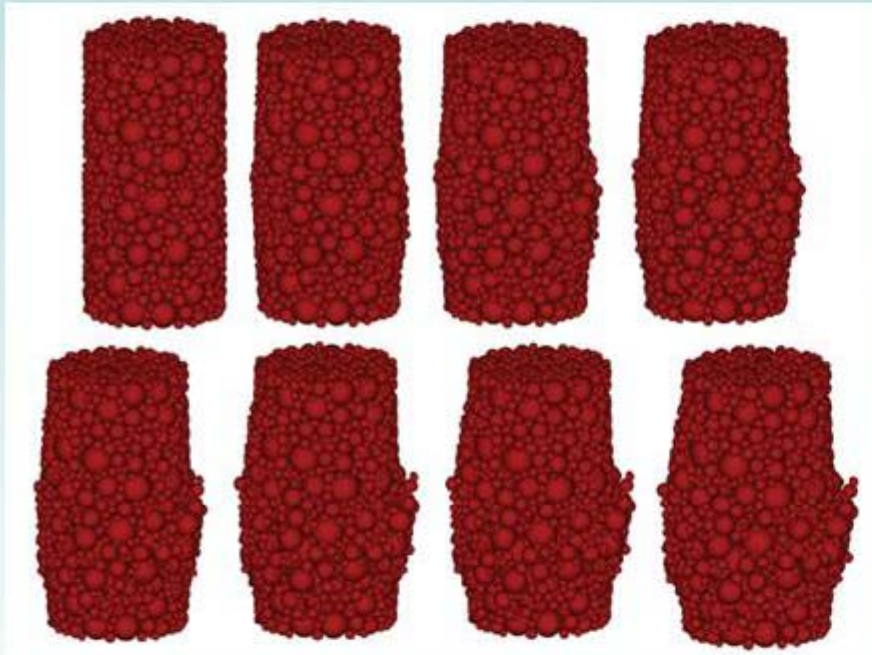
FEM



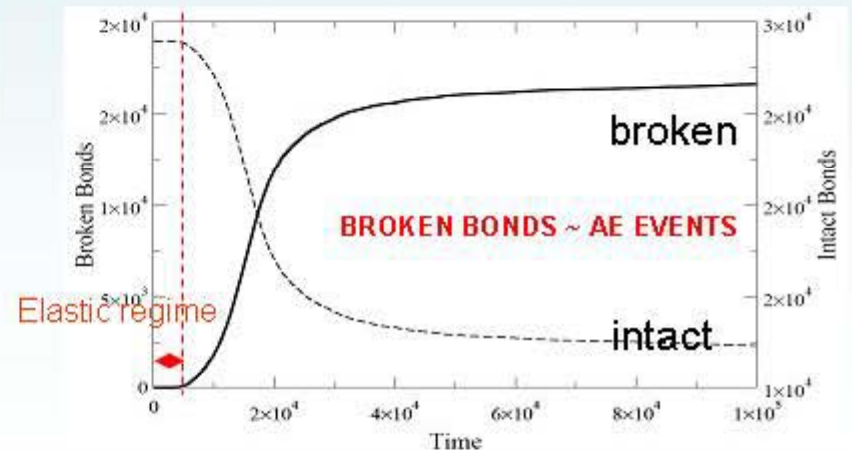
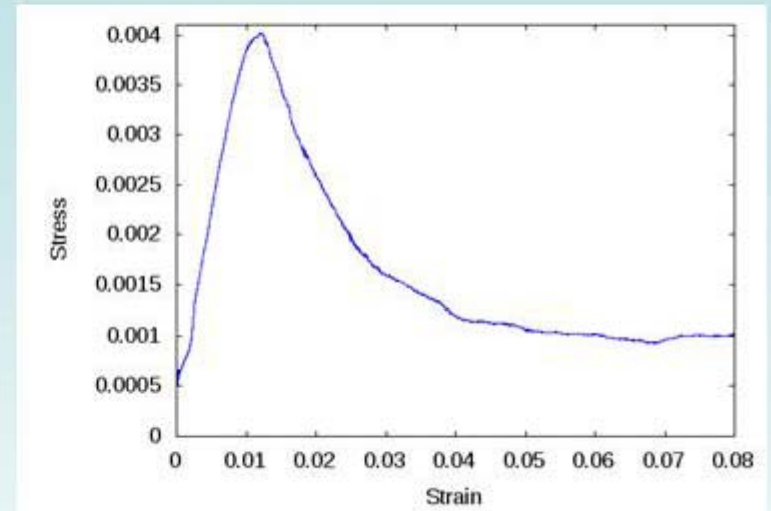
C23



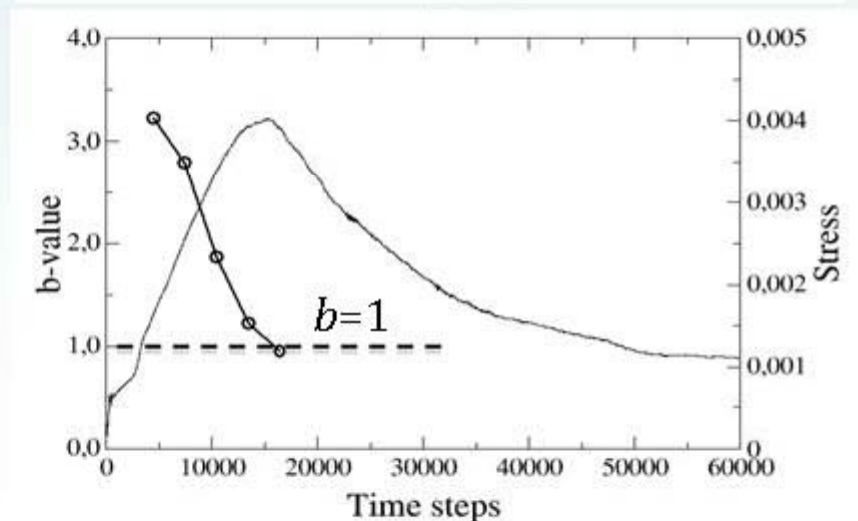
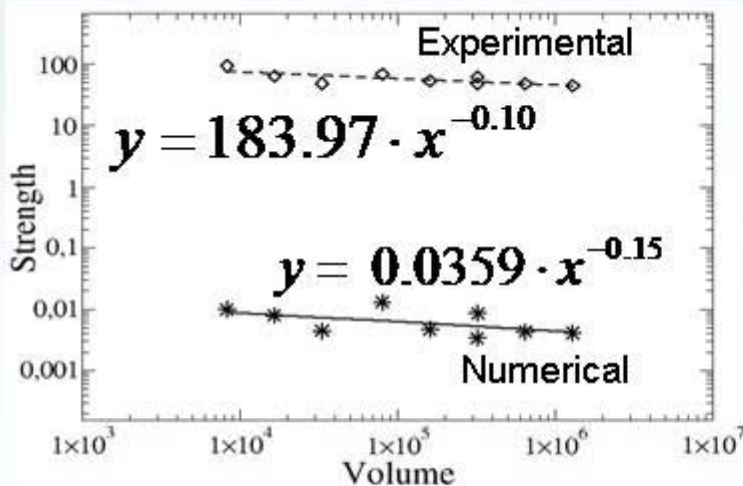
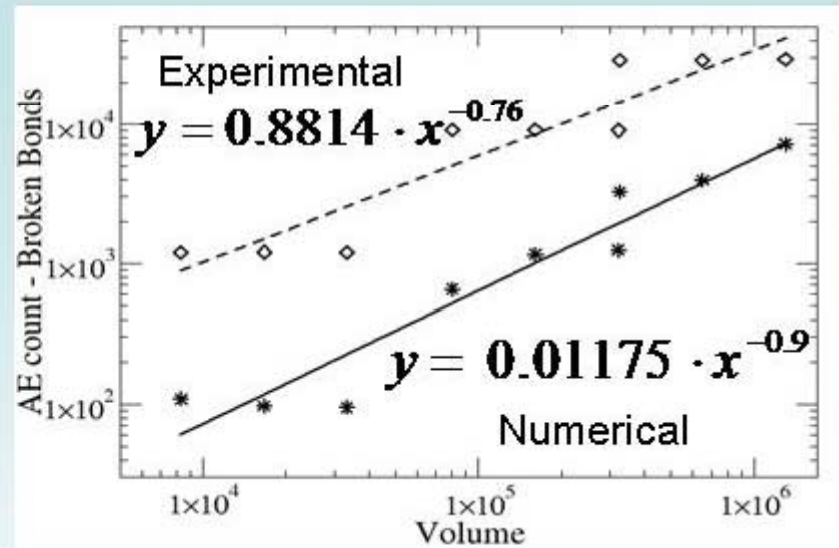
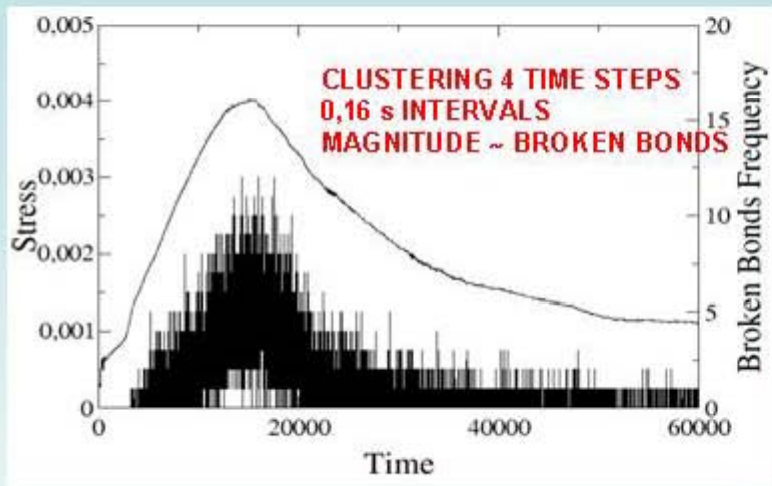
# PROVE DI COMPRESSIONE



Crack Pattern



# PROVE DI COMPRESSIONE





# CONCLUSIONI

- Sono state illustrate le principali tecniche numeriche per la simulazione del danneggiamento in edifici storici e monumentali
- Tali tecniche sono state applicate all'interpretazione dei risultati sperimentali ottenuti con indagini non distruttive o moderatamente distruttive (martinetti piatti, prove di carico, Emissioni Acustiche)
- La modellazione numerica permette di valutare la stabilità del manufatto in esame, e di comprendere più a fondo i risultati sperimentali (NDT e/o laboratorio)
- I principali fenomeni considerati sono:
  - Risposta meccanica
  - Crack pattern
  - Scaling del numero di eventi di AE
  - Evoluzione del  $b$ -Value durante la prova



# RIFERIMENTI BIBLIOGRAFICI

- Carpinteri A., Bocca P. eds. (1991) *Damage and Diagnosis of Materials and Structures. Proc. of DDMS 91*, Politecnico di Torino, Pitagora Editrice, Bologna.
- CARPINTERI A, INVERNIZZI S., LACIDOGNA G (2009). Historical brick-masonry subjected to double flat-jack test: Acoustic Emissions and scale effects on cracking density. *CONSTRUCTION AND BUILDING MATERIALS*, vol. 23(8); p. 2813-2820, ISSN: 0950-0618, doi: 10.1016/j.conbuildmat.2009.03.003
- CARPINTERI, INVERNIZZI S., G. LACIDOGNA (2007). Structural assessment of a XVIIIth century masonry vault with AE and numerical techniques. *INT. JOURNAL OF ARCHITECTURAL HERITAGE*, vol. 1:2; p. 214-226
- INVERNIZZI S., LACIDOGNA G, MANUELLO A, CARPINTERI A (in stampa). AE monitoring and numerical simulation of a two-span model masonry arch bridge subjected to pier scour. *STRAIN*
- S. Invernizzi, A. Carpinteri, G. Lacidogna, A. Manuello (2010) Numerical simulation of AE activity in quasi-brittle materials under compression In: *Proceedings of the SEM Annual Conference*. Indianapolis (New Mexico), June 6-10, 2010, BETHEL: Society for Experimental Mechanics





THANKS FOR YOUR ATTENTION!



SEM 2010 Annual Conference & Exposition on Experimental and Applied Mechanics  
June 7 - 10, 2010, Indianapolis, Indiana USA